

Suplemento electrónico

del artículo

Caracterización estratigráfica, paleoambiental y biocronológica de  
la Formación La Deheza (Carbonífero Superior-Pérmico Inferior),  
San Juan, Argentina

de

**Gustavo Alejandro Correa y Pedro Raúl Gutiérrez**

publicado en

*Revista Mexicana de Ciencias Geológicas, 2014, 31(3), 340-353*

## APÉNDICE 1

### Contenido palinológico de las asociaciones de facies

#### **ASOCIACIÓN PALINOLÓGICA I (TABLAS A2 Y A3)**

La Asociación Palinológica I (AP I; niveles PB SJ 672. 682. 658. 674B, 674T, provenientes de las asociaciones de facies I, III y V, que constituyen parte de los 240 m inferiores de la unidad), está caracterizada por la presencia de *Cristatisporites chacoparanaensis*, *C. cf. spinosus*, *C. stellatus*, *C. rolleri* (Figura A3. G), *C. inconstans*, *C. longispinosus* (Figura A3. H), *C. scabiosus*, *C. menendezi* (Figura A3d), *Vallatisporites russoi*, *Grossusporites microgranulatus*, *Spelaeotriletes spp.*, *Apiculatisporis variornatus*, *Granulatisporites austroamericanus*, *Brevitriletes levis*, *B. parvatus*, *B. cornutus* (Figura A3c), *Dibolisporites cf. disfacies*, *Leiotriletes cf. corius*, *Retusotriletes simplex*, *Circumplacitipollis sp.*, *Caheniasaccites densus* y *Plicatipollenites malabarensis* (Figura A4a).

Estas microfloras presentan baja diversidad genérica y específica (Tablas A1), e incluyen palinomorfos pobremente preservados con abundantes restos de leño; particularmente el nivel de carbón de la asociación de facies V (Figura 3) contiene una microflora (PBSJ 674B y 674T) muy pobre, mal preservada asociada a abundantes restos de tejido vegetal carbonizado en diverso grado.

Entre los palinomorfos de la AP I dominan aquellos relacionados con las licofitas (40.7–73.8%: *Cristatisporites*, *Kraeuselisporites*, *Vallatisporites*) y pteridofitas (18.6–50.7%: *Punctatisporites*, *Leiotriletes*), en proporciones variables. El resto de las microfloras incluye esporas de hongos y esfenofitas *Calamospora*, *Laevigastosporites*, algas dulceacuícolas *Botryococcus* y granos de polen relacionados a coníferas (*Caheniasaccites*, *Limitisporites*, *Barakarites*), cordaitales (*Cannanoropolis*), gimnospermas ideterminadas (*Crucisaccites*) y caytoniales (*Alisporites*).

Por último, en las microfloras provenientes de los niveles PB SJ 672. 682 y 658. se identificaron un pequeño conjunto de esporas retrabajadas (carbonizadas, corroídas y piritizadas), en proporciones menores al 5% respecto del material autóctono caracterizado arriba.

#### **Interpretación**

La composición de las microfloras de la asociación de facies I y III (PBSJ 658; PBSJ 672. 682) refleja que la flora que les habría dado origen habría estado dominada por elementos con requerimientos higro-hidrófilos (licofitas, pteridofitas, cordaitales y algas dulceacuícolas), con escasa a nula participación de representantes de la vegetación meso-xerofítica (coníferas). La flora se habría desarrollado en y sobre los márgenes de los cuerpos de agua de las planicies del sistema deltaico y sus restos arrastrados hacia la parte más profunda del sistema. La presencia de material redepositado también se explicaría por el redepósito del sedimento glaciario disponible. Por su parte, las microfloras (PBSJ 674B y 674T) halladas en estos carbones reflejan una vegetación higro-hidrófila desarrollada en y sobre los márgenes de estas lagunas (licofitas y pteridofitas, algas dulceacuícolas y esfenofitas).

#### **ASOCIACIÓN PALINOLÓGICA II (TABLAS A2 Y A3)**

La Asociación Palinológica II (AP II; incluye las microfloras provenientes de los niveles PB SJ 677. 676. 663. 664 y 666. de las asociaciones de facies VI, VII y el primer ciclo de la facies X, que aparecen en la parte media de la Formación La Deheza con una potencia de 230 m), está caracterizada por variadas y numerosas microfloras, que presentan una composición similar a la asociación I, pero con una

mayor diversidad entre los granos de polen, y la aparición de granos de polen del tipo *Protohaploxylinus*, *Vittatina*, *Minutosaccus*, y de acritarcas (*Michrystridium?*) (Tablas A1 y A2). Entre las especies que la caracterizan aparecen esta asociación aparecen: *Converruosisporites confluens* (Figura A3b), *Kraeuselisporites sanluisensis* (Figuras A3 e -A3f), *K. apiculatus*, *Spelaeotriletes ybertii*, *Horriditriletes uruguaiensis* y *Michrystridium?* spp. (Figura A4s), acompañadas en parte por especies que comparte con la AP I (véase arriba) y con AP III, tales como *Vittatina subsaccata*, *Anapiculatisporites tereteangulus* (Figura A3a), *Horriditriletes ramosus*, *Alisporites australis* (Figura A3m), *A. similis* (Figura A3n), *Minutosaccus* spp. (Figura A3p), *Pteruchipollenites gracilis* (Figura A3i), *Calamospora breviradiata* y *Cannanoropolis mehtaee*.

Las microfloras que integran la AP II, provienen de tres niveles pelíticos (Figura 3). El primero (de 10 m de espesor), aparece en los sectores inferiores de la asociación de facies VI (Figura 3: PBSJ 677. 676. 663); el segundo (12 m de potencia) se ubica en sector inferior de la asociación de facies VII (PBSJ 664) y el último, de pelitas (3 m), correspondiente a la primera aparición, en la secuencia, de la asociación de facies (PBSJ 666).

Estas microfloras, incluyen palinomorfos regularmente preservados, y están integradas principalmente por esporas relacionadas a las pteridofitas (49.2–72.0%: *Punctatisporites*, *Leiotriletes*, *Retusotriletes*, *Anapiculatisporites*, *Apiculatasporites*, *Apiculatisporis*, *Brevitriletes*, *Cyclogranisporites*, *Converruosisporites*, *Granulatisporites*, *Verrucosporites*); complementan las esporas relacionadas a las licofitas (15.5–32.5%: *Cristatisporites*, *Lunbladispora*, *Kraeuselisporites*, *Vallatisporites*, *Spelaeotriletes*, *Grossusporites*), hongos (1.5–12.8%), esfenofitas (2.4–7.2%: *Calamospora*, *Laevigatosporites*), granos de polen de cordaitales (1.4–5.0%: *Cannanoropolis*, *Plicatipollenites*, *Potonieisporites*), coníferas (0.5–2.7%: *Caheniasaccites*, *Limitisporites*, *Platysaccus*), pteridospermas (peltaspermales-caytoniales; 0–1.6%: *Alisporites*, *Pteruchipollenites*, *Cycadopites*, *Vittatina*) y glossopoteridales-voltziales (0–0.3%: *Protohaploxylinus*). El resto lo conforman formas vinculadas con las prasinofitas (0.5–2.9%: *Brazilea*, *Leiosphaeridia*), algas dulceacuícolas (0–0.8%) y acritarcas (*Michrystridium* sp.; 0–0.9%).

Resulta característico en estas microfloras la presencia de palinomorfos retrabajados (entre 2.0 y 20.5% de las mismas; Tablas A1), entre los que se destacan *Emphanisporites* spp., *Auroraspora* spp., *Geminospores* spp., *Retispora* spp., *Verrucosporites* spp. y escasas acritarcas indeterminadas.

#### **Interpretación**

La composición de las microfloras halladas en la parte inferior de la facies VI (PBSJ 677. 676. 663) refleja un dominio de la vegetación higrófila (pteridofitas y licofitas) por sobre aquella hidrófila (esfenofitas, prasinofitas, acritarcas). También participan, aunque en bajas proporciones, representantes de la vegetación higro-mesófila desarrolladas en los sectores próximos a la línea de la costa (cordaitales, coníferas, peltaspermales-caytoniales, gimnospermas, glossopoteridales-voltziales).

Los niveles más finos de la parte inferior de la facies VII, que contienen microfloras (PBSJ 664), probablemente correspondan a planicies muy próximas a la línea de costa y que por lo tanto hubieran estado bajo la influencia de las aguas marinas. La composición de esta microflora presenta una composición similar a las de la facies VI (las PBSJ 663. 676 y 677), con un dominio de la vegetación higro-hidrófila, desarrollada

en los márgenes y en los cuerpos de agua desarrollados en el sistema fluvial anastomosado, desarrollados próximos la línea de costa.

### ASOCIACIÓN PALINOLÓGICA III (TABLAS A2 Y A3)

La Asociación Palinológica III (AP III), fue reconocida en la parte superior de la Formación La Deheza (en un tramo aproximado de 220 m, sin techo visible) comprende las microfloras de los niveles PBSJ 678. 668. 679. 680. 681. 669. 670 y 671 (Figura 3). Pobremente preservadas, estas microfloras, muestran una alta diversidad genérica (Tablas A2) entre los granos de polen estriados, plicados y bisacados, y baja diversidad entre las esporas; en general se observan pocos ejemplares de cada taxón identificado (salvo en los niveles PBSJ 680 y 669).

Desde el punto de vista composicional se pudieron diferenciar dos grupos de muestras (separados por unos 50 m): uno inferior (PBSJ 678. 668. 679. 680 y 681) y otro superior (PBSJ 669. 670 y 671). Las microfloras del grupo inferior se caracterizan por mostrarse integradas principalmente por esporas triletes (entre 40 y 55% de las mismas), acompañadas por los granos de polen bisacados lisos (13.6–22.9%) y estriados (6.4–16%), granos de polen monosacados lisos (4.1–17.6%), granos de polen plicados-colpados (4–8.9%) y algas (0.2–7%). En contraste, en las microfloras de los niveles superiores, es llamativa la baja proporción en que parecen las esporas triletes (2.3–18.6%), y los grupos principales resultan los granos de polen bisacados estriados (17.8–28.7%) y lisos (16.5–19.4%), granos de polen plicados-colpados (4.4–36.9%) y granos de polen monosacados lisos (6.8–37.4%) y estriados (5–10.8%).

Las microfloras de los niveles inferiores (PBSJ 678. 668. 679. 680 y 681), incluyen formas pobramente preservadas, entre las que se identificaron formas vinculadas a las pteridospermas (15.3–24.0%: *Punctatisporites*, *Leiotriletes*, *Retusotriletes*, *Cyclogranisporites*, *Con verrucosporites*, *Granulatisporites*, *Verrucosporites*, *Brevitriletes*), esfenofitas (7.0–33.2%: *Calamospora*), coníferas (12.8–22.7%: *Caheniasaccites*, *Scheuringipollenites*, *Barakarites*, *Colpisaccites*, *Hamiapollenites*, *Platysaccus*, *Limitisporites*, *Klausipollenites*, *Striomonosaccites*, *Striatooabieites*), pteridospemas (peltaspermales-caytoniales; 11.2–15.3%: *Alisporites*, *Pteruchipollenites*, *Vitreisporites*, *Vittatina*, *Pakhapites*, *Cycadopites*), licofitas (1.1–13.0%: *Cristatisporites*, *Lunbladispora*, *Vallatisporites*, *Kraeuselisporites*, *Grossuporites*), glossopteridales-voltziales (5.6–12.6%: *Protohaploxylinus*, *Striatopodocarpites*, *Illinites*, *Weylandites*, *Lunatisporites*, *Lueckisporites*), cordaitales (0–10.8%: *Cannanoropolis*, *Plicatipollenites*, *Potonieisporites*), algas dulceacuícolas (0–7.0%: *Botryococcus*), gimnospermas s.l. (1.6–6.0%: *Latusipollenites*, *Mabuitasaccites*) y prasinofitas (0–3.6%: *Brazilea*, *Leiosphaeridia*) y hongos (0–0.5%).

Las microfloras superiores (PBSJ 669. 670 y 671), también incluye palinomorfos regularmente preservados, que incluye gra-

nos de polen vinculados a las peltaspermales-caytoniales (15.7–39.1%: 15.7%: *Pteruchipollenites*, *Alisporites*, *Vittatina*, *Pakhapites*, *Vitreisporites*, *Cycadopites*), coníferales (19.1–28.8%: *Caheniasaccites*, *Hamiapollenites*, *Barakarites*, *Scheuringipollenites*, *Klausipollenites*, *Colpsaccites*, *Platysaccus*, *Limitisporites*), glossopteridales-voltziales (18.1–21.4% *Protohaploxylinus*, *Illinites*, *Lueckisporites*, *Weylandites*, *Striatopodocarpites*, *Crustaesporites*), cordaitales (0.9–14.4%: *Cannanoropolis*, *Potonieisporites*, *Tuberisaccites*, *Plicatipollenites*, *Divarisaccus*), gimnospermas indeterminadas (5.3–17.7%: *Mabuitasaccites*, *Meristocorpus*, *Latusipollenites*, *Crucisaccites*). Entre las esporas aparecen aquellas vinculadas a las pteridofitas (1.5–10.0%: *Punctatisporites*, *Leiotriletes*, *Cyclogranisporites*), esfenofitas (0.4–3.8%: *Calamospora*), y licofitas (0–0.5%). Las algas-prasinofitas (0–1.9%) y hongos (0–0.9%) aparecen escasamente representados.

A nivel de genérico y específico no se aprecian marcadas diferencias entre estos grupos de microfloras, razón por la cual se las mantuvo en una misma asociación palinológica (AP III). La misma (Archivo Complementario 3) se caracteriza por la aparición de *Striatopodocarpites* spp., *Hamiapollenites ruditaenius* (Figura A4l), *Illinites unicus* (Figuras A4f, A4i), *Lueckisporites* spp. (L. sp. cf. *L. balmei* -Figuras A4m, A4r, L. sp. cf. *L. virkkiae*), *Vittatina costabilis* (Figura A4q), *Protohaploxylinus goraiensis* (Figura A4o), *P. amplus* (Figura A4k), *P. microcorpus* (Figura A4h), *P. sp. cf. P. bharadwajii*, *P. sp. cf. P. suchonensis* (Figura A4g), *Klausipollenites* spp. (Figura A3q), *Scheuringipollenites medius* (Figura A3s), *Vitreisporites* spp., *Pakhapites fusus* (Figura A4d), *Weylandites* spp., *Barakarites rotatus* (Figura A4c), *Caheniasaccites densus*, *Latusipollenites quadrisaccatus* (Figura A3t) y *Mabuitasaccites* sp. (Figura A4d). Asociadas, entre otras con *Scheuringipollenites ovatus* (Figura A3j), *Colpisaccites* sp. cf. *C. granulosus* (Figura A3k), *Limitisporites* sp. cf. *L. rectus* (Figura A3l), *Caheniasaccites flavatus* (Figura A3o), *Platysaccus* spp. (Figura A3r), *Accinstisporites* spp. (Figura A4b), *Cycapodites* spp. (Figura A4j) y *Crustaesporites* sp. (Figura A4n).

### Interpretación

Las microfloras halladas en esta asociación de facies reflejan la vegetación desarrollada durante este momento y cómo evolucionan las mismas. En un primer momento (PBSJ 678. 668. 679. 680. 681) las mismas estaban compuestas por elementos hidro-higrófilos (principalmente pteridofitas, licofitas, esfenofitas algas dulceacuícolas-prasinofitas) e higro-mesófilos-xerófilos (peltaspermales-caytoniales, coníferas, glossopteridales-voltziales, gimnospermas indeterminadas, cordaitales), para pasar a floras dominadas por elementos mesófilos-xerófilos con muy escasa participación de formas con requerimientos hidro-higrófilos (Tablas A3). Esto probablemente se explique a partir de la disminución de la presencia de ambientes con el agua suficiente que permite el desarrollo de las floras autóctonas, principalmente las esfenofitas, licofitas y pteridofitas.

**APÉNDICE 2**  
**Contenido palinológico de la Formación La Deheza**

**Sphenophytas**

*Calamospora hartungiana* Schopf en Schopf, Wilson y Bentall, 1944.  
*Calamospora breviradiata* Kosanke, 1950.  
*Calamospora* spp.  
*Laevigatosporites* spp.

**Pteridophytas**

*Anapiculatisporites tereteangulus* (Balme y Hennelly) Playford y Dino, 2002 (Figura A3a).

*Anapiculatisporites* spp.

*Apiculatasporites* spp.

*Apiculatisporis variornatus* di Pasquo, Azcuy y Souza, 2003.

*Apiculatisporis* spp.

*Apiculiretusispora* spp.

*Brevitriletes cornutus* (Balme y Hennelly) Backhouse, 1991 (Figura A3c).

*Brevitriletes levius* (Balme y Hennelly) Bharadwaj y Srivastava, 1969.

*Brevitriletes parvatus* (Balme y Hennelly) Backhouse, 1991.

*Brevitriletes* spp.

*Converrucosporites confluens* (Archangelsky y Gamerro) Playford y Dino, 2002 (Figura A3b).

*Converrucosporites* spp.

*Convolutispora* spp.

*Cyclogranisporites* spp.

*Dibolisporites* sp. cf. *D. difacies* Jones y Truswell, 1992.

*Dibolisporites* sp.

*Dictyotriletes* sp.

*Granulatisporites austroamericanus* Archangelsky y Gamerro, 1979.

*Granulatisporites* spp.

*Horriditriletes ramosus* (Balme y Hennelly) Bharadwaj y Salujha, 1964.

*Horriditriletes uruguaiensis* (Marques-Toigo) Archangelsky y Gamerro, 1979.

*Horriditriletes* spp.

*Leiotriletes* sp. cf. *L. corius* Kar y Bose, 1967.

*Leiotriletes directus* Balme y Hennelly, 1956.

*Leiotriletes virkii* Tiwari, 1965.

*Leiotriletes* spp.

*Lophotriletes* spp.

*Punctatisporites* sp. cf. *P. gretensis* Balme y Hennelly, 1956.

*Punctatisporites* spp.

*Retusotriletes diversiformis* (Balme y Hennelly) Balme y Playford, 1967.

*Retusotriletes simplex* Naumova, 1953.

*Retusotriletes* spp.

*Verrucosporites* spp.

**Lycophytas**

*Cristatisporites chacoparanaensis* Ottone, 1989.

*Cristatisporites inconstans* Archangelsky y Gamerro, 1979.

*Cristatisporites longispinosus* Menéndez, 1971 (Figura A3k).

*Cristatisporites menendezi* (Menéndez y Azcuy) Playford, 1978 (Figura A3d).

*Cristatisporites rolleri* Ottone, 1989 (Figura A3g).

*Cristatisporites scabiosus* Menéndez, 1965.

*Cristatisporites* sp. cf. *C. spinosus* (Menéndez y Azcuy) Playford, 1978.

*Cristatisporites stellatus* (Azcuy) Gutiérrez y Limarino, 2001.

*Cristatisporites* spp.

*Densosporites* spp.

*Grossusporites microgranulatus* (Menéndez y Azcuy) Pérez Loinaze y Césari, 2004.

*Grossusporites* sp.

*Kraeuelisporites apiculatus* Jansonius, 1962.

*Kraeuelisporites sanluisensis* Menéndez, 1971 (Figuras A3e-A3f).

*Kraeuelisporites* spp.

*Lundbladispora brasiliensis* Marques-Toigo y Pons) Marques-Toigo y Picarelli, 1985.

*Lundbladispora riobonitensis* Marques-Toigo y Picarelli, 1985.

*Lundbladispora* sp.

*Spelaeotriletes ybertii* (Marques-Toigo) Playford y Powis, 1979.

*Spelaeotriletes* spp.

*Vallatisporites arcuatus* (Marques-Toigo) Archangelsky y Gamerro, 1979.

*Vallatisporites russoi* Archangelsky y Gamerro, 1979.

*Vallatisporites* spp.

**Coniferas**

*Accinctisporites* sp. (Figura A4b).

*Barakarites rotatus* (Balme y Hennelly) Bharadwaj y Tiwari, 1964 (Figura A4c).

*Barakarites* spp.

*Caheniasaccites densus* Lele y Karim emend. Gutiérrez, 1993.

*Caheniasaccites flavatus* (Bose y Kar) emend. Azcuy y Di Pasquo, 2000 (Figura A3o).

*Caheniasaccites* sp. cf. *C. ovatus* Lele y Karim emend. Gutiérrez, 1993.

*Caheniasaccites* spp.

*Circumplicatipollis* sp.

*Colpisaccites* sp. cf. *C. granulosus* Archangelsky y Gamerro, 1979 (Figura A3k).

*Klausipollenites* spp. (Figura A3q).

*Limitsporites* sp. cf. *L. rectus* Leschik, 1956 (Figura A3l).

*Limitsporites* sp.

*Minutosaccus* sp. (Figura A3p).

*Platysaccus* spp. (Figura A3r).

*Scheuringipollenites maximus* (Hart) Tiwari, 1973.

*Scheuringipollenites medius* (Burjack) Dias-Fabrício, 1981 (Figura A3s).

*Scheuringipollenites ovatus* (Balme y Hennelly) Foster 1979 (Figura A3j).

*Scheuringipollenites* sp.

*Hamiapollenites ruditaeniatus* Qu y Wang, 1986 (Figura A4l).

*Hamiapollenites* spp.

*Striatoabieites* sp. cf. *S. multistriatus* (Balme y Hennelly) Hart, 1964.

*Striatoabieites* spp.

**Gimnospermas indeterminadas**

*Crucisaccites* spp.

*Latusipollenites quadrisaccatus* Marques-Toigo, 1974 (Figura A3t).

*Mabuitasaccites* sp. (Figura A4d).

*Meristocarpus* spp.

**Cordaitales**

*Cannanoropollis janakii* Potonié y Sah, 1960.

*Cannanoropollis mehtae* (Lele) Bose y Maheshwari, 1968.

*Cannanoropolis* spp.

*Divarisaccus?* sp.

*Plicatipollenites malabarensis* (Potonié y Sah) Foster, 1975 (Figura A4a).

*Plicatipollenites* spp.

*Potonieisporites* spp.

*Tuberisaccites* sp.

#### **Pteridospermas / Caytoniales**

*Alisporites australis* de Jersey, 1962 (Figura A3m).

*Alisporites similis* (Balme) Balarino, 2012 (Figura A3n).

*Alisporites* spp. (Figura A4a).

*Pteruchipollenites gracilis* (Segroves) Foster, 1979 (Figura A3l).

*Pteruchipollenites* spp.

*Cycadopites* sp. (Figura A4j).

*Pakhapites fusus* (Bose and Kar) Menéndez, 1971 (Figura A4e).

*Pakhapites ovatus* (Bose y Kar) García, 1996.

*Pakhapites* spp.

*Vitreisporites* spp. (Figura A4d).

*Vittatina costabilis* Wilson, 1962 (Figura A4q).

*Vittatina fasciolata* (Balme y Hennelly) Bharadwaj, 1962.

*Vittatina subsaccata* Samoilovich, 1953.

*Vittatina* spp.

#### **Glossopoteridales / Voltziales**

*Crutaesporites* sp. (Figura A4n).

*Illinites unicus* Kosanke emend. Jansonius y Hills, 1976 (Figuras 9f, 9i).

*Lueckisporites* sp. cf. *L. virkkiae* Potonié y Kalus, 1954.

*Lueckisporites* sp. cf. *L. balmei* (Tiwari y Vijaya) Gutiérrez, Zavattieri, Ezpeleta y Astini, 2011 (Figuras 9m, 9r).

*Lueckisporites* spp.

*Protohaploxylinus amplus* (Balme y Hennelly) Hart, 1964 (Figura A4k).

*Protohaploxylinus goraiensis* (Potonié y Lele) Hart, 1964 (Figura A4g).

*Protohaploxylinus microcorpus* (Schaarschmidt) Clarke, 1965 (Figura A4h).

*Protohaploxylinus* sp. cf. *P. suchonensis* (Sedova) Hart, 1964 (Figura A4g).

*Protohaploxylinus* sp. cf. *P. bharadwajii* Foster, 1979.

*Protohaploxylinus* spp.

*Striatopodocarpites* spp.

*Weylandites lucifer* (Bharadwaj y Saluja) Foster 1975 (Figura A4p).

*Weylandites magnus* (Bose y Kar) Backhouse, 1991.

*Weylandites* spp.

#### **Fungii**

*Portalites* sp.

*Fungi* indet.

#### **Algas**

*Botryococcus* spp.

*Prasynophytas*.

*Brazilea* spp.

#### **Acritarcas**

*Michrystridium?* spp. (Figura A4s).

Tabla A1. Microfloras identificadas en la Formación La Deheza, área Estancia Maradona: distribución estratigráfica por nivel fósilero (PBSJ), agrupadas en asociaciones palinológicas (I, II, III), su relación con las asociaciones de facies y distribución bioestratigráfica conocida en las Biozonas del centro-oeste argentino (*sensu* Césari and Gutiérrez, 2001): Biozonas DM (*Raistickia densa*-*Convolutispora muriornata*), FS (*Pakhapites fusus*-*Vittatina subsaccata*) y LW (*Lueckisporites*-*Weylandites*).

Taxones / PBSJ	658	672	682	674B	674T	677	676	663	664	666	678	668	679	680	681	669	670	671	Biozonas
Asociación palinológica	I					II					III					DM	FS	LW	
Asociación de facies	I	III	V	VI	VII	X													
<i>Calamospora</i> spp.	X	X	X	X	X	X	X	X	X	X	X	X	X	X	X	X	X	X	
<i>Leiotriletes</i> spp.	X	X	X	X	X	X	X	X	X	X	X	X	X	X	X	X	X	X	
<i>Punctatisporites</i> spp.	X	X	X	X	X	X	X	X	X	X	X	X	X	X	X	X	X	X	
<i>Lundbladispora</i> spp.	X	X	X	X	X	X	X	X	X	X	X	X	X	X	X	X	X	X	
<i>Cahleniasaccites</i> spp.	X	X		X	X	X	X	X	X	X	X	X	X	X	X	X	X	X	
<i>Retusotriletes</i> spp.	X	X	X		X	X	X	X	X	X	X	X	X	X				X	
<i>Punctatisporites cf. gretensis</i>	X	X	X		X	X	X	X	X	X	X	X					X	+	+
<i>Leiotriletes directus</i>	X	X	X			X	X	X	X	X	X	X	X				X	+	+
<i>Retusotriletes diversiformis</i>		X	X	X		X	X	X									X	+	+
<i>Calamospora hartungiana</i>			X	X			X	X	X	X	X	X	X	X	X	X	X	+	+
<i>Platysaccus</i> spp.							X	X	X	X	X	X	X	X	X	X	X	X	
<i>Meristocorpus</i> spp.							X						X	X	X	X		X	
<i>Colpisaccites cf. granulosus</i>										X	X	X	X	X	X	X	+	+	
<i>Brazilea</i> spp.										X	X	X	X	X	X	X		X	
<i>Granulatisporites</i> spp.			X	X			X	X	X	X	X	X	X	X	X	X			
<i>Alisporites</i> spp.								X	X	X	X	X	X	X	X	X	X	X	
<i>Cannanoropolis janakii</i>										X	X					X	+	+	
<i>Barakarites</i> spp.																X		X	
<i>Converruosisporites</i> spp.								X		X	X	X	X	X	X	X		X	
<i>Cristatisporites</i> spp.		X	X	X	X	X	X	X	X	X	X	X	X	X	X	X	X	X	
<i>Cyclogranisporites</i> spp.		X	X	X	X	X	X	X	X	X	X	X	X	X	X	X	X	X	
<i>Cannanoropolis</i> spp.		X	X	X	X	X	X	X	X	X	X	X	X	X	X	X	X	X	
<i>Fungii indeterminados</i>		X	X	X	X	X	X	X	X	X	X	X		X	X	X			
<i>Vallatisporites</i> spp.		X	X	X	X		X	X	X	X	X	X	X	X	X			X	
<i>Limitisporites</i> spp.		X	X					X	X	X	X	X	X	X	X	X	X	X	
<i>Potonieisporites</i> spp.		X	X				X	X	X	X	X	X	X	X	X	X			
<i>Crucisaccites</i> spp.		X	X					X										X	
<i>Scheuringipollomites ovatus</i>			?										X	X	X		+	+	
<i>Divarisaccus</i> spp.				X														X	
<i>Plicatipollenites</i> spp.		X						X	X	X	X	X	X	X	X	X			
<i>Cahleniasaccites cf. ovatus</i>		X											X	X			+	+	
<i>Verrucosiporites</i> spp.		X	X	X	X	X	X	X	X	X	X	X	X	X	X	X			
<i>Laevigatosporites</i> spp.		X	X		X		X	X	X	X	X	X	X	X	X	X			
<i>Grossusporites</i> spp.		X	X	X		X		X	X	X	X	X	X	X	X	X			
<i>Apiculatisporites</i> spp.		X	X	X		X		X	X	X	X	X							
<i>Brevitriletes</i> spp.		X	X	X		X		X	X	X	X	X							
<i>Botryococcus</i> spp.		X	X	X	X					X	X	X							
<i>Kraeuselisporites</i> spp.		X	X	X			X	X	X	X	X	X	X	X	X				
<i>Anapiculatisporites</i> spp.		X	X	X	X			X	X	X	X	X							
<i>Leiotriletes virkkii</i>		X															+	+	
<i>Lundbladispora riobonitensis</i>		X	X						X	X	X	X	X				+	+	
<i>Apiculatasporites</i> spp.		X							X	X	X	X	X						
<i>Lundbladispora brasiliensis</i>		X															+	+	
<i>Vallatisporites arcuatus</i>		X	X	X	X		X		X	X	X	X	X				+	+	
<i>Cristatisporites stellatus</i>		X	X	X	X	X	X			X	X						+	+	
<i>Cristatisporites rolleri</i>		X	X	X	X												+	+	
<i>Cristatisporites inconstans</i>		X	X				X										+	+	
<i>Leiotriletes cf. corius</i>		X		X				X		X							+	+	
<i>Plicatipollenites malabarensis</i>		X				X		X	X	X							+	+	
<i>Granulatisporites austroamericanus</i>		X			X			X	X	X							+	+	
<i>Spelaeotriletes</i> spp.		X	X	X		X	X	X	X	X							+	+	
<i>Grossusporites microgranulatus</i>		X	X					X	X	X							+	+	

continues

Tabla A1 (cont.). Microfloras identificadas en la Formación La Deheza, área Estancia Maradona: distribución estratigráfica por nivel fosilífero (PBSJ), agrupadas en asociaciones palinológicas (I, II, III), su relación con las asociaciones de facies y distribución bioestratigráfica conocida en las Biozonas del centro-oeste argentino (*sensu* Cesari and Gutiérrez, 2001): Biozonas DM (*Raistickia densa*-*Convolutispora muriornata*), FS (*Pakhapites fusus*-*Vittatina subsaccata*) y LW (*Lueckisporites*-*Weylandites*).

TAXONES / PBSJ	658	672	682	674B	674T	677	676	663	664	666	678	668	679	680	681	669	670	671	Biozonas
Asociación palinológica	I				II				III								DM	FS	LW
Asociación de facies	I	III	V		VI	VII	X									X			
<i>Cristatisporites longispinosus</i>	X	X															?	+	+
<i>Cristatisporites scabiosus</i>	X	X																+	+
<i>Convolutispora</i> spp.	X																		
<i>Vallatisporites russoi</i>	X	X	X	X														+	+
<i>Cristatisporites menendezi</i>	X	X																+	+
<i>Circumplicatipollis</i> sp.	X	X																	
<i>Brevitriletes levis</i>			X	X			X	X	X	X							+	+	
<i>Lophotriletes</i> spp.			X	X			X	X	X	X							+	+	
<i>Brevitriletes cornutus</i>	X					X	X										+	+	
<i>Apiculiretusispora</i> spp.			X						X	X									
<i>Brevitriletes parvatus</i>		X				X	X	X									+	+	+
<i>Dibolisporites cf. disfacies</i>			X					X	X								+	+	
<i>Dibolisporites</i> sp.			X					X	X										
<i>Retusotriletes simplex</i>			X			X											+	+	
<i>Cristatisporites chacoparanaensis</i>	X	X															+	+	+
<i>Cristatisporites cf. spinosus</i>	X	X															+	+	
<i>Caheniasaccites densus</i>	X	X															+	+	+
<i>Apiculatisporis variornatus</i>			X														+		
<i>Kraeuselisporites apiculatus</i>			X				X	X		X							+	+	
<i>Spelaeotriletes ybertii</i>			X	X	X	X											+	+	
<i>Portalites</i> spp.			X																
<i>Horriditriletes uruguaiensis</i>			X														+	+	+
<i>Densosporites</i> spp.			X	X	X														
<i>Converruosisporites confluens</i>			X	X	X												+	+	
<i>Michrystridium?</i> spp.			X	X															
<i>Kraeuselisporites sanluisensis</i>			X														+		
<i>Anapiculatisporites tereteangulus</i>	X	X	X	X	X	X				X		X					+	+	
<i>Cannanoropolis mehtae</i>	X							X	X								+	+	+
<i>Pteruchipollenites</i> spp.		X	X	X		X	X	X	X	X	X	X	X	X	X				
<i>Horriditriletes ramosus</i>		X	X	X									X				+	+	
<i>Horriditriletes</i> spp.		X	X	X									X						
<i>Pteruchipollenites gracilis</i>		X	X										X	X			+	+	+
<i>Protohaploxylinus</i> spp.		X					X	X	X	X	X	X	X	X	X				
<i>Vittatina subsaccata</i>		X				X			X			X	X	X	X		+	+	
<i>Calamospora breviradiata</i>		X				X	X				X						+	+	
<i>Minutosaccus</i> spp.		X							X										
<i>Alisporites similis</i>			X		X		X		X		X	X	X	X			+		
<i>Dictyotriletes</i> spp.			X				X												
<i>Alisporites australis</i>				X					X			X		X	X		+	+	
<i>Latusipollenites quadrisaccatus</i>					X	X	X	X	X	X	X	X	X	X	X		+	+	
<i>Scheuringipollenites</i> sp.					X	X	X	X	X	X	X	X	X	X	X				
<i>Striatopodocarpites</i> spp.					X	X	X	X	X	X	X	X	X	X	X				
<i>Vittatina</i> spp.					X	X	X	X	X	X	X	X	X	X	X				
<i>Barakarites rotatus</i>					X	X	X				X	X	X	X	X	?	+	+	
<i>Lueckisporites</i> spp.					X	X					X	X	X	X	X				
<i>Vittatina costabilis</i>					X	X					X	X	X	X	X		+	+	
<i>Protohaploxylinus goraiensis</i>					X	X					X	X	X	X	X		?	+	
<i>Scheuringipollenites mediuss</i>					X						X	X	X	X	X	?	+	+	
<i>Hamiapollenites</i> spp.					X		X	X	X	X	X	X	X	X	X				
<i>Lueckisporites cf. balmei</i>					X		X				X							+	
<i>Protohaploxylinus amplius</i>					X		X				X					+	+	+	
<i>Protohaploxylinus microcorpus</i>						X					X							+	

continues

Tabla A1 (cont.). Microfloras identificadas en la Formación La Deheza, área Estancia Maradona: distribución estratigráfica por nivel fosilífero (PBSJ), agrupadas en asociaciones palinológicas (I, II, III), su relación con las asociaciones de facies y distribución bioestratigráfica conocida en las Biozonas del centro-oeste argentino (*sensu* Césari and Gutiérrez, 2001): Biozonas DM (*Raistickia densa*-*Convolutispora muriornata*), FS (*Pakhapites fusus*-*Vittatina subsaccata*) y LW (*Lueckisporites*-*Weylandites*).

Taxones / PBSJ	658	672	682	674B	674T	677	676	663	664	666	678	668	679	680	681	669	670	671	Biozonas
Asociación palinológica	I				II				III								DM	FS	LW
Asociación de facies	I	III	V	VI	VII	X										X			
<i>Cycadopites</i> sp.													X	X	X	X	X	X	
<i>Klausipollenites</i> spp.													X	X	X	X	X	X	
<i>Mabuitasaccites</i> sp.													X	X	X	X	X	X	
<i>Vitreisporites</i> spp.													X	X	X	X	X	X	
<i>Pakhapites</i> spp.													X	X	X	X	X	X	
<i>Illinites unicus</i>													X	X	X	X	X	X	+ +
<i>Lueckisporites cf. virkkiae</i>													X		X	X			+
<i>Pakhapites fusus</i>													X	X					+
<i>Protohaploxylinus cf. bharadwajii</i>													X	X					+
<i>Striatoabieites cf. multistriatus</i>													X						+
<i>Hamiapollenites ruditaeniatus</i>													X	X		X			+
<i>Cahleniasaccites flavatus</i>													X	X		X			+
<i>Protohaploxylinus cf. suchonensis</i>													X		X	X			+
<i>Striatoabieites</i> spp.													X	X	X				
<i>Limitisporites cf. rectus</i>													X				+	+	+
<i>Vittatina fasciolata</i>													X				+	+	
<i>Weylandites</i> spp.													X	X	X	X			
<i>Tuberisaccites</i> sp.													X		X				
<i>Accinctisporites</i> sp.													X						
<i>Weylandites magnus</i>														X	X	X		+	+
<i>Crutaesporites</i> sp.														X					
<i>Pakhapites ovatus</i>														X			+	+	
<i>Scheuringipollenites maximus</i>														X			+	?	
<i>Weylandites lucifer</i>														X				+	

Tabla A2. Composición porcentual de las asociaciones palinológicas identificadas en las muestras de la Formación La Deheza, según sus posibles plantas parentales.

Asociaciones Palinológicas		I						II						III						
Asociaciones de Facies		I			III			V			VI			VII			X			
PBSJ	n.º	F	%	F	%	F	%	F	%	F	%	F	%	F	%	F	%	F	%	X
Género																				
Estenofitas		658	672	682	674B	674T	677	676	663	664	666	678	668	679	680	681	669	670	671	
<b>Calamospora</b>		3	0.6	4	0.5	4	2.0	3	1.5	4	2.7	5	2.5	28	3.7	11	2.4	15	1.9	51
<b>Anapiculatisporites</b>		2	0.4	1	0.1	1	0.5	1	0.7	1	0.5	2	0.3	1	0.1	3	0.4	2	0.4	1.4
<b>Apiculatisporites</b>		4	0.9	2	0.3	3	1.5	1	0.5	1	0.7	2	1.0	26	3.5	8	1.8	15	1.9	10
<b>Apiculatisporis</b>		1	0.2	3	0.4	1	0.5	1	0.7	1	0.5	21	2.8	9	2.0	13	1.6	15	2.0	4
<b>Apiculatisporispora</b>																			0.7	
<b>Brevitributes</b>		2	0.4	3	0.4	3	1.5	2	1.0	4	2.0	21	2.8	27	6.0	21	2.6	8	1.1	1
<b>Converrucoisporites</b>																			0.3	
<b>Convolutispora</b>		1	0.2																1	
<b>Cyclogranisporites</b>		4	0.9	16	2.0	2	1.0	6	3.0	5	3.3	11	5.5	78	10.4	9	2.0	26	3.3	20
<b>Dibolisporites</b>																			0.3	
<b>Dictyotributes</b>																			1.4	
<b>Granulatisporites</b>		1	0.2																1	
<b>Horriditributes</b>																			0.9	
<b>Leiotributes</b>		7	1.5	15	1.9	19	9.5	9	4.5	19	12.7	19	9.5	52	6.9	31	6.9	30	3.8	89
<b>Lophotributes</b>																			1.9	
<b>Punctatisporites</b>		74	15.7	105	13.1	47	23.5	67	33.5	40	26.7	90	45.0	188	25.1	144	32.0	261	32.6	156
<b>Retusorributes</b>		4	0.9	2	0.3	4	2.0	4	2.0	6	4.0	10	5.0	36	4.8	13	2.9	38	4.8	29
<b>Verrucosporites</b>		1	0.2	3	0.4	1	0.5	3	1.5	1	0.7	3	1.5	16	2.1	3	0.7	22	2.8	17
<b>Cristatisporites</b>		268	57.0	519	64.9	84	42.0	79	39.5	31	20.7	20	10.0	140	18.7	20	4.4	26	3.3	92
<b>Densosporites</b>																			3.6	
<b>Endosporites</b>																			8	
<b>Grossosporites</b>		1	0.2	2	0.3	1	0.5		13	8.7		3	0.4	11	2.4	26	3.3	12	1.6	3
<b>Krauselisporites</b>		10	2.1	21	2.6	2	1.0		3	1.5	15	2.0	9	2.0	11	1.4	11	1.5	2.0	0.4
<b>Lundbladispora</b>		4	0.9	37	4.6	6	3.0	4	2.0	16	10.7	2	1.0	11	1.5	25	5.6	66	8.3	82
<b>Spelaeotributes</b>		4	0.9	1	0.1	1	0.5	1	0.7	4	2.0	12	1.6	2	0.4	6	0.8	4	0.5	0.5
<b>Vallatisporites</b>		5	1.1	10	1.3	8	4.0	6	3.0	2	1.0	13	1.7	11	2.4	28	3.5	32	4.3	4
<b>Accintisporites</b>																			0.5	
<b>Barakartes</b>		1	0.2																1	
<b>Caheniasacites</b>		3	0.6	5	0.6		1	0.5	3	0.4	1	0.2	1	0.1	5	0.7	4.0	5	2.3	3.4
<b>Circumplacitopollis</b>		1	0.2	5	0.6				1	0.5									3.4	
<b>Colpisaccites</b>		1	0.1						1	0.2									0.6	
<b>Klausipollenites</b>		2	0.4	2	0.3				2	0.3	1	0.2	1	0.1	12	1.6	11	0.8	2	0.6
<b>Limitisporites</b>																			0.5	
<b>Minutoscoccus</b>		2	0.3																0.5	
<b>Pharysaccus</b>																			1.6	

continues

Tabla A2 (cont.). Composición porcentual de las asociaciones palinológicas identificadas en las muestras de la Formación La Dehesa, según sus posibles plantas parentales.

Asociaciones Palinológicas		I			II			III																								
		I	III	V	VI	VII	X	X	X	X																						
PB SJ	658	672	682	674B	674T	677	663	664	666	678	668	679	680	681	669	670	671															
Género	F %	F %	F %	F %	F %	F %	F %	F %	F %	F %	F %	F %	F %	F %	F %	F %	F %															
Coníferas	Scheuringipollenites	1	0.1																													
Coníferas	Hamiapollenites																															
	Striatobetites																															
Gymnospermas	Crucisaccites	2	0.4	3	0.4	1	0.5																									
indefinidas	Latusipollenites																															
	Mabutitasaccites																															
	Meristocarpus	1	0.1																													
Cordaitales	Cannanoropollis	20	4.3	18	2.3	3	1.5	4	2.0	1	0.7	6	3.0	12	1.6	8	1.8	9	1.1	20	2.7	3	0.9									
	Divariscacis	1	0.1																													
	Plicatipollenites	2	0.4	2	0.3	1	0.5	2	0.3	1	0.2	1	0.1	5	0.7	3	1.2	3	0.5		11	0.8										
	Potoneisporites	3	0.6	3	0.4	3	1.5	4	0.5	1	0.2	1	0.1	5	0.7	3	1.2	2	0.4		5	0.9	30	2.3								
	Tuberisaccites																															
Caytoniales	Alisporites	1	0.2																													
pteridospermas	Pteruchipollenites																															
	Vtreisporites																															
	Cycadopites																															
	Pakhapites																															
	Vitattina																															
Glossopteridales	Crustaeasporites																															
voltiales	Illinites																															
	Luekisporites																															
	Protohaploxylinus																															
	Striatopodocarpites																															
	Weylandites																															
Hongos	Fungii indet.	29	6.2	10	1.3	2	1.0	4	2.0	1	0.7	6	3.0	10	1.3	5.5	12.2	9.8	12.3	6	0.8											
	Portalites																															
	Algas dulciculol.	Botryococcus	10	2.1	4	2.0	2	1.0	6	4.0																						
Prasinoftas	Brazilea	2	0.3								1	0.5	5	0.7	13	2.9	21	2.6	9	1.2		9	3.6	9	1.6	7	1.9					
Acrictarcas	Michrystridium?																															
Autóctono	Total	470	100	800	100	200	100	150	100	200	100	750	100	450	100	800	100	100	250	100	550	100	365	100	570	100	1300	100	220	100	320	100

Tabla A3. Composición de las microfloras identificadas en La Formación La Deheza, área Estancia Maraddona, según sus posibles afinidades botánicas: distribuidas por nivel fosilífero (PBSI), agrupadas en asociaciones palinológicas (I, II, III), su relación con las asociaciones de facies.

Asociaciones palinológicas	I												II												III											
	Asociaciones de facies				I				III				V				VI				VII				X				X							
PBSJ	658	672	682	674B	674T	677	676	663	664	666	678	668	679	680	681	669	670	671	F	%	F	%	F	%	F	%	F	%	F	%	F	%	F	%	F	%
Esfenofitas	5	1.1	5	0.6	4	2.0	4	2.0	5	3.3	6	3.0	30	4.0	11	2.4	16	2.0	54	7.2	7	7.0	56	22.4	109	19.8	121	33.2	167	29.3	5	0.4	8	3.6	12	3.8
Periodofitas	99	21.1149	18.6	85	42.5	96	48.0	76	50.7	144	72.0	478	63.7	266	59.1	460	57.5	369	49.2	24	24.0	58	23.2	84	15.3	79	21.6	115	20.2	19	1.5	22	10.0	23	7.2	
Licofitas	292	62.1590	73.8	102	51.0	89	44.5	61	40.7	31	15.5	194	25.9	84	18.7	183	22.9	244	32.5	13	13.0	21	8.4	39	7.1	4	1.1	14	2.5	6	0.5	11	5.0	0	0	
Coníferas	7	1.5	16	2.0		1	0.5		1	0.5	6	0.8	5	1.1	4	0.5	20	2.7	17	17	32	12.8	125	22.7	57	15.6	79	13.9	374	28.8	42	19.1	76	23.8		
Gimnospermas	2	0.4	4	0.5			1	0.5											6	6.0	5	2.0	13	2.4	6	1.6	15	2.6	230	17.7	12	5.5	17	5.3		
indeterminadas																																				
Cordaitales	25	5.3	24	3.0	3	1.5	4	2.0	1	0.7	10	5.0	18	2.4	10	2.2	11	1.4	30	4.0		27	10.8	52	9.5	4	1.1	27	4.7	187	14.4	6	2.7	3	0.9	
Peridospermas	1	0.2										6	0.8	2	0.4	1	0.1	12	1.6	15	15.0	28	11.2	73	13.3	56	15.3	79	13.9	204	15.7	70	31.8	125	39.1	
Glosspteridales/ Voltziales												2	0.3					11	11	14	5.6	46	8.4	29	7.9	72	12.6	275	21.2	47	21.4	58	18.1			
Fungii	29	6.2	10	1.3	2	1.0	4	2.0	1	0.7	6	3.0	11	1.5	55	12.2	98	12.3	6	0.8			2	0.5	1	0.2		2	0.9							
Algas duceacuícolas	10	2.1		4	2.0	2	1.0	6	4.0																											
Prasinofitas												1	0.5	5	0.7	13	2.9	21	2.6	9	1.2		9	3.6	9	1.6	7	1.9								
Acritarcas																																				
<b>Totales</b>	470	100	800	100	200	100	150	100	200	100	750	100	450	100	800	100	750	100	100	250	100	550	100	365	100	570	100	1300	100	220	100	320	100			

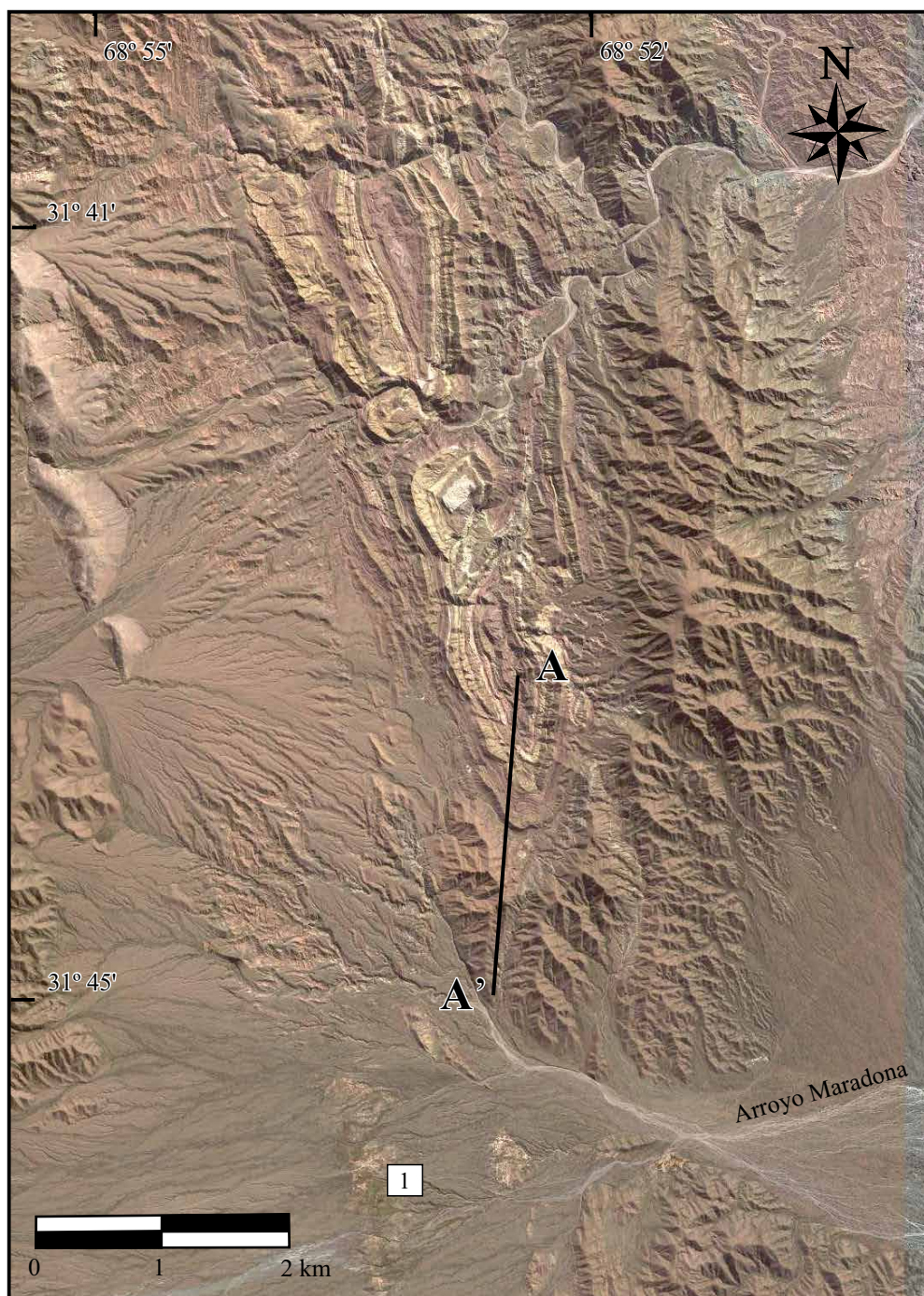


Figura A 1. Imagen satelital de la localidad Estancia Maradona, donde se destaca la buena exposición vertical y lateral de los afloramientos. 1. Puesto Estancia Maradona. La línea representa el perfil sedimentológico levantado.

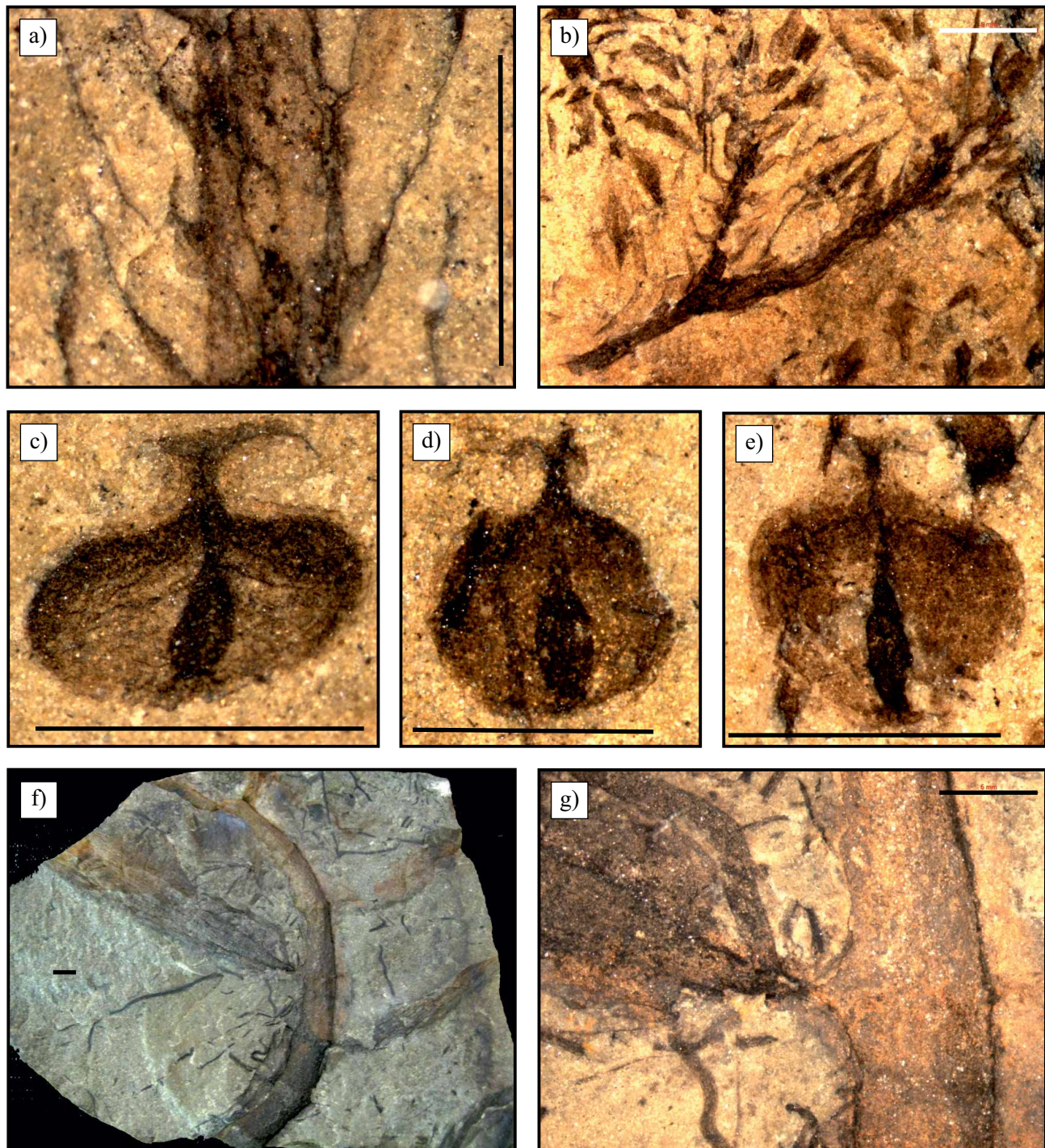


Figura A2. Fragmentos de *Ferugliocladus patagonicus* Archangelsky y Cúneo. a) (PBSJ 578) Detalle de una rama de anteúltimo orden, donde se ve la disposición helicoidal de las hojas. b) (PBSJ 516), Ramas aisladas asociadas con semillas. c) (PBSJ 594), d) (PBSJ 511) y e) (PBSJ 592), Ejemplares completos de *Eucerospermum nitens* Feruglio emend. A. Archangelsky que preservan el núcleo y ápice. f) y g) (PBSJ 514) Ejemplar más completo de *Paracalamites* sp. con hojas en posición perpendicular al eje. g) Detalle de la inserción de la hoja al eje. En todos los casos la barra representa un centímetro.

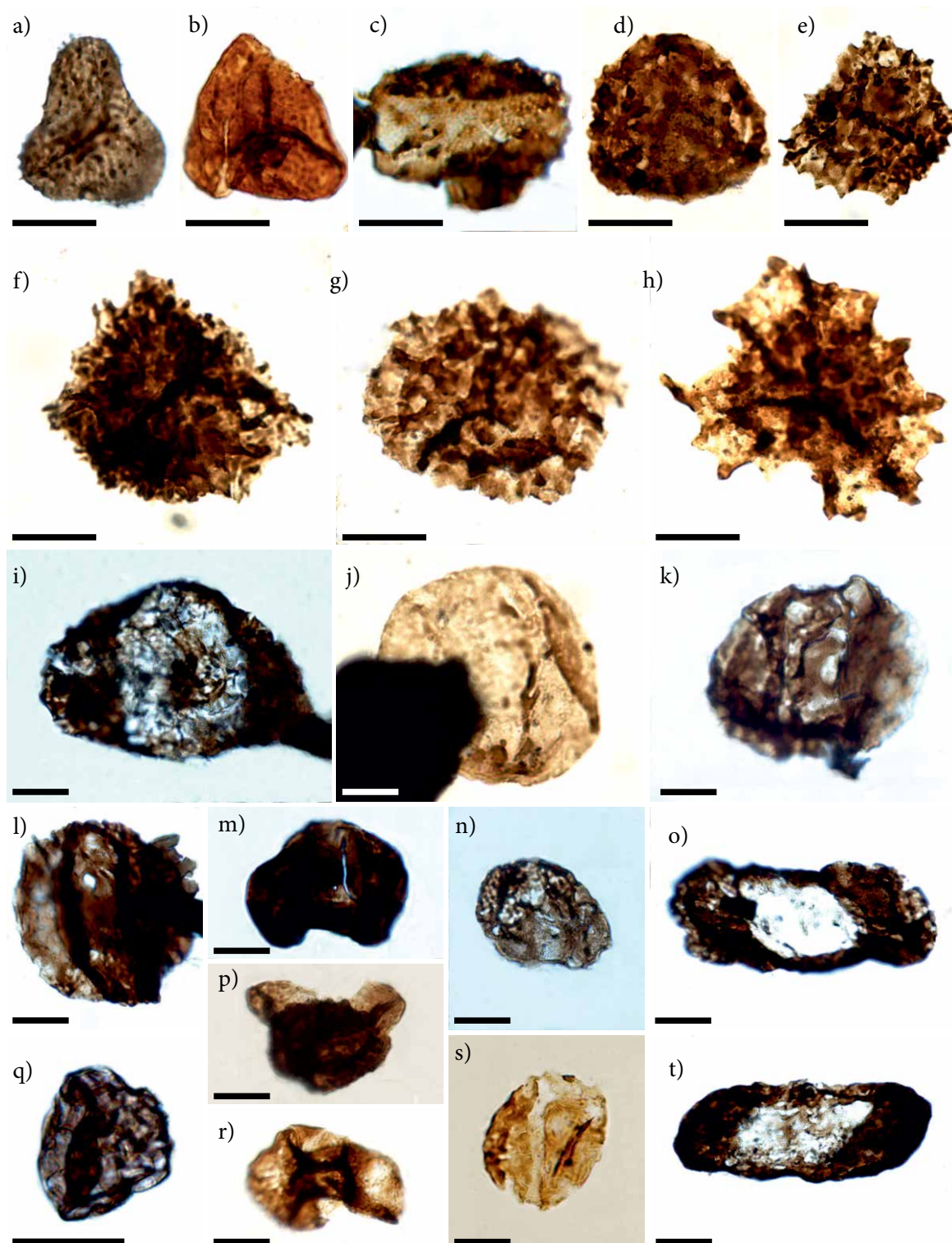


Figura A3. Pteridophytas: a) *Anapiculatisporites tereteangulus* (Balme y Hennelly) Playford y Dino 2002, PBSJ 663(8) P50/1. b) *Converrucosporites confluens* (Archangelsky y Gamerro) Playford y Dino 2002, PBSJ 664(5) P48/1. c) *Brevitriletes cornutus* (Balme y Hennelly) Backhouse 1991, PBSJ 676(4) G56/2. Lycophytas: d) *Cristatisporites menendezi* (Menéndez y Azcuy) Playford 1978, PBSJ 672(2) M65/3. e-f), *Kraeuselisporites sanluisensis* Menéndez 1971, e) PBSJ 672(4) J54/0; f) PBSJ 672(4) K52/0. g) *Cristatisporites rolleri* Ottone 1989, PBSJ 672(2) H48/0. h) *C. longispinosus* Menéndez 1971, 672(2) V68/2. Pteridospermas/Caytoniales: i) *Pteruchipollenites gracilis* (Segroves) Foster 1979, PBSJ 669(7) U45/0. Gimnospermas indeterminadas: j) *Scheuringipollenites ovatus* (Balme y Hennelly) Foster 1979, PBSJ 672(2) F67/1. Coníferas: k) *Colpisaccites* sp. cf. *C. granulosus* Archangelsky y Gamerro 1979, PBSJ 679(9) B45/0. l) *Limitisporites* sp. cf. *L. rectus* Leschik 1956, PBSJ 679(8) C62/0. Pteridospermas/Caytoniales: m) *Alisporites australis* de Jersey 1962, PBSJ 679(8) V56/0. n) *A. similis* (Balme) Balarino 2012, PBSJ 669(5) D59/0. Coníferas: o) *Caheniasaccites flavatus* Bose y Kar emend. Azcuy y Di Pasquo 2000, PBSJ 669(6) J22/2. p) *Minutosaccus* sp., PBSJ 663(3) X51/0. q) *Klausipollenites* sp., PBSJ 678(5) B43/0. r) *Platysaccus* sp., PBSJ 681(4) E37/4. s) *Scheuringipollenites mediocris* (Burjack) Dias-Fabricio, 1981, PBSJ 678(5) U60/0. Gimnospermas indeterminadas: t) *Latusipollenites quadrisaccatus* Marques-Toigo, 1974, PBSJ 851(9) J26/1. Barra: 20 µm.

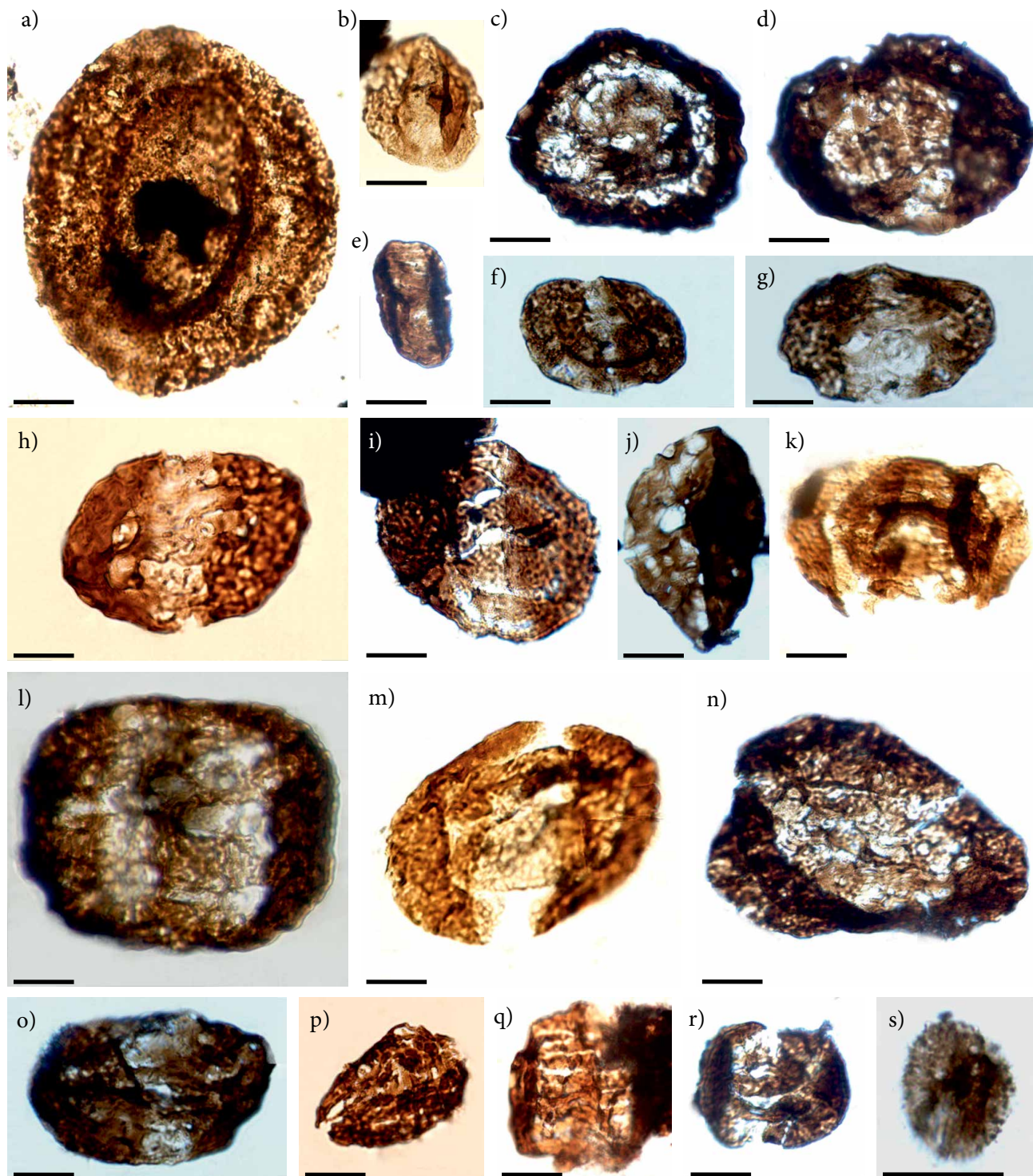


Figura A4. Cordaitales: a) *Plicatipollenites malabarensis* (Potonié y Sah) Foster, 1975, PBSJ 672(4) G38/3. Coníferas: b) *Accinctisporites* sp., PBSJ 678(5) M49/0. c) *Barakarites rotatus* (Balme y Hennelly) Bharadwaj y Tiwari, 1964, PBSJ 669(5) X42/4. Gimnospermas indeterminadas: d) *Mabuitasaccites* sp., PBSJ 669(5) B29/0. Pteridospermas/Caytoniales: e) *Pakhapites fusus* (Bose y Kar) Menéndez, 1971, PBSJ 938(8) D50/0. Glossopteridales/Voltziales: f), i), *Illinites unicus* Kosanke emend. Jansoni y Hills, 1976, f) PBSJ 669(5) C47/0; i) PBSJ 669(2) X34/4. g) *Protohaploxypinus* sp. cf. *P. suchonensis* (Sedova) Hart, 1964, PBSJ 851(5) F35/0. h) *Protohaploxypinus microcorpus* (Schaarschmidt) Clarke, 1965, PBSJ 851(9) E42/4. Pteridospermas/Caytoniales: j) *Cycadopites* sp., PBSJ 669(6) G54/3. Glossopteridales/Voltziales: k) *Protohaploxypinus amplus* (Balme y Hennelly) Hart, 1964, PBSJ 681(4) L58/4. Coníferas: l) *Hamiapollenites ruditaeniatus* Qu y Wang, 1986, PBSJ 669(6) A44/4. Glossopteridales/Voltziales: m), r), *Lueckisporites* sp. L. cf. *balmei* (Tiwari y Vijaya) Gutiérrez et al., 2011, PBSJ 678(3) L49/0; r) PBSJ 669(5) S54/4. n) *Crustaeспорites* sp., PBSJ 669(5) O58/0. Glossopteridales/Voltziales: o) *Protohaploxypinus goraiensis* (Potonié y Lele) Hart, 1964, PBSJ 669(10) X36/2. p) *Weylandites lucifer* (Bharadwaj y Salujha) Foster, 1975, PBSJ 669(10) M35/0. Pteridospermas/Caytoniales q) *Vittatinia costabilis* Wilson, 1962, PBSJ 669(10) V48/4. Acritarcas: s) *Michrystridium?* sp., PBSJ 664(4) J57/0. Barra: 20 µm.

		Co. Bachongo Correa <i>et al.</i> , 2012	Ea. Maradona Este trabajo	Ciénaga de Huaco Net y Limarino, 2006	Sa. Malimán Gulbranson <i>et al.</i> , 2010
Pérmico	Medio				
	Inferior	Fm. Andapaico	Fm. La Deheza		
Carbonífero	Superior			Gr. Paganzo	Fm. La Colina
	Inferior	Fm. Punta Negra (Devónico)	Fm. Punta Negra (Devónico)	Fm. San Juan (Ordovícico)	Fm. Loma Larga Fm. Malanzán
					Fm. Olta (Cámbrico)

Figura A5. Cuadro de correlación entre las localidades más características de la Cuenca Paganzo, con sus respectivas edades, donde se destaca La Formión La Deheza.